

시효 조건에 따른 $Fe_{78}B_{13}Si_9$ 비정질 합금의 결정화 연구
The Effects of Aging Conditions on the Crystallization
of $Fe_{78}B_{13}Si_9$ Metallic Glass

김 기 육 민 복 기 송 재 성 흥 진 완

한국전기연구소 전기재료연구부 도전·자성재료연구실

이 원 재*

부산대학교 금속공학과

Kim Ki-Uk, Min Bok-Ki, Song Jae-Sung, Hong Jin-Wan
Electrical Material Div., KERI
Lee Won-Jae, Lee Sang-Lae
Dept. of Metal. Eng., Pusan Univ.

ABSTRACT

Effect of isothermal aging on the crystallization of $Fe_{78}B_{13}Si_9$ metallic glass has been investigated by electrical resistivity, X-ray measurements, bending test, thermal analysis and transmission electron microscopy. Amorphous $Fe_{78}B_{13}Si_9$ alloy was annealed isothermally for 5 to 1200 min. between 300°C and 540°C. It has been found that close relation between relative resistivity and X-ray diffraction pattern showed. The crystalline peaks of α -(Fe,Si) and Fe_2B are detected by X-ray experiment. The crystalline phases observed by TEM show α -(Fe,Si) and Fe_3B with dendritic and cylindrical morphology, respectively. It has been also found that the embrittleness of aged samples rapidly increased with the crystallization and was shown before the crystallization.

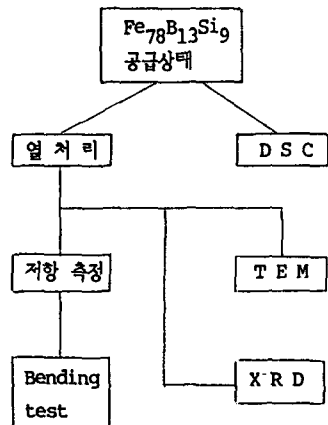
I. 서 론

비정질 합금을 열처리하면 비정질 상태에서 구조안화, 상분리, 결정화등의 구조적 변화를 일으키면서 비정질 고유의 물리적, 화학적 특성이 변하게 되고 그 변화 양상은 매우 복잡하다. $Fe_{78}B_{13}Si_9$ 합금은 연자성 재료로서 철손이 매우 적어 변압기 철심재료로서 주목되고 있는데 실제 목적에 응용하기 위해서는 자기적 특성, 기계적 특성의 최적화를 위한 열처리를 하여야 한다. 본 연구에서는 $Fe_{78}B_{13}Si_9$ 합금의 열처리 조건에 따른 전기비저항 변화, X-ray회절, bending test, TEM 관찰, DSC 분석을 통하여 구조변화와 전기적, 기계적 특성의 변화와 상호 관련성을 종합적으로 검토하고자 하였다.

II. 실험방법

As-cast상태의 비정질 $Fe_{78}B_{13}Si_9$ 리본의 특성에 미치는 열처리 조건의 영향을 살펴보기 위하여 Ar 분위기에서 시효온도 300°C, 340°C, 380°C, 420°C, 450°C, 480°C, 510°C,

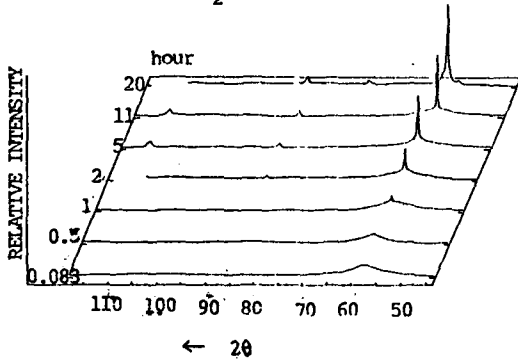
540°C, 시효시간 5분~20시간 범위에서 각각 열처리 하였다. 각 시편에 대해서 미세저항 측정장치(micro-ohmmeter)를 사용하여 4단자법으로 측정하였고, X-ray 회절시험은 Fe-K α 선으로 2θ=30~130°까지 측정하였다. 열처리 조건에 따른 취화(embrittlement)정도를 살펴보기 위하여 마이크로메터를 이용한 bending test를 실시하여 minimum bending diameter를 측정하였으며, 결정화시 나타나는 결정상들의 미세조직을 전자현미경(TEM)으로 관찰하였다. TEM 시편은 twin-jet방식으로 전해연마하였으며 TEM의 가속전압은 100kV였다. 구조안화를 관찰하기위해 시차 주사열탕계(Dupont, DSC 9900)을 이용하여 질량1~2mg. 승온 속도 10°C/min로 300K~750K까지 열분석을 하였다. 다음은 실험 진행의 개략도이다.



실험 진행도

III. 결과 및 고찰

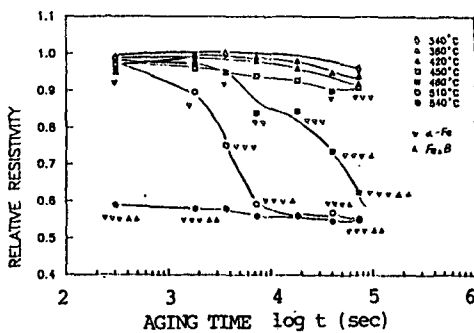
열처리 조건에 따른 결정화 과정을 살펴보기 위하여 X-ray 회절실험 결과를 그림(1)에 나타내었다. 그림(1)의 480°C 등은 시효한 시편에서 시효시간이 증가함에 따라 먼저 α -(Fe, Si)가 생성되고 점차 Fe_2B 가 생성됨을 알 수 있다.



그림(1). 시효온도 480°C에서 등온 시효한 시편의 시효시간 변화에 따른 X-ray 회절패턴

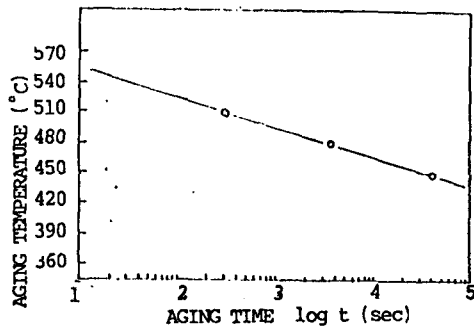
그리고, 시효조건에 따른 상대비저항의 변화와 X-ray 결정화 과의 관계를 그림(2)에 표시하였다. 시효온도 340°C~450°C의 시편은 비저항이 완만히 감소하여 상대비저항 0.9 정도에서 포화되며, 결정상은 관측되지 않은 것으로 보아 자유체적 감소에 의한 TSRD적인 구조완화에 기인되는 것으로 생각되고 시효온도 480°C~540°C의 급격한 감소는 α -(Fe, Si)과 Fe_2B 의 석출에 따른 결정화에 기인되는 것으로 생각된다.

그림(2)에서 Fe_2B 가 생성되면 저항의 감소량이 완만하게 일어나는 것을 나타내고 있다. 이는 Fe_2B 상의 저항감소에 미치는 정도는 어상보다 작은 것으로 생각된다.



그림(2). 등온시효조건에 따른 상대비저항과 결정화의 관계

그림(3)은 X-선 회절결과, α -(Fe, Si)상이 처음 나타나는 지점을 연결하여 작성한 TTT도이다. 그림으로부터 α -(Fe, Si)의 생성은 Arhenius 식을 만족하고 있으며, 결정화 활성화에너지 $\Delta H=91.6\text{Kcal}$ 이었다. 이 값은 Fish등이 DSC로 구한 α -(Fe, Si)의 결정화에 대한 유효 활성화 에너지 $\Delta H=96.2\text{Kcal}$ 와 비슷하다.



그림(3). X-선 회절에 의한 α -(Fe, Si) 결정상 성장의 TTT도

사진(1)은 승온속도 5°C/min로 530°C까지 가열한 후 냉각한 시편의 TEM수지상의 α -(Fe, Si)과 실린더형의 Fe_2B 가 나타났다. 이로부터 Fe_2B 는 α -(Fe, Si)와 공정조직을 이룸을 알 수 있다.

는 bcc나 bct구조의 석출물이 비정질 matrix에 커다란 응력을 작용하기 때문이라 생각된다.

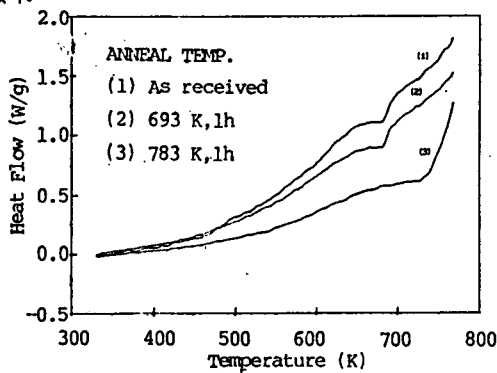
Reference

1. Y. Takahara et al, J.Japan Inst. Metals., 51,2(1987)95-101
2. T. Yamasaki, Y. Ogino, J.Japan Inst Metals., 50,7(1986) 595-601
3. C.F. Chang, J.Marti, J. Mat. Sci., 18(1983) 2297-2304



사진(1). 시효온도 530°C까지 5°C/min 로 승온후 냉각한 시편의 TEM 사진

비정질은 낮은 온도에서도 구조완화가 일어나는데 이는 실제 변압기로서 동작할때와 열처리시에도 일어나게 된다. 그림(4)은 as-received 시편, 시효온도 420°C, 510°C시 편의 DSC 발열곡선을 나타내고 있다. 시효온도가 420°C, 510°C로 높아지면 발열곡선이 낮아지는 것을 볼 수 있으며, 이로부터 510°C의 고온에서도 구조완화가 일어난다고 생각된다. 409°C의 큐티온도에서 흡열 피크가 있음을 알 수 있다.



그림(4). DSC에 의한 발열곡선

Bending test 결과에 의하면, 결정화가 일어나기 전의 시효온도(300°C - 420°C)에서 시효한 시편의 굽힘반경이 약 1.6 mm이내로 작았으며, 결정화가 일어나는 시효온도와 시간에서 시효한 시료의 굽힘반경이 크게 증가하는 것으로 나타나 결정화 이전의 취화는 구조완화, 미소결정립 생성, 산화에 의한 구부적 strain에 기인된다고 생각되며, 결정화에 의한 취화